

มหาวิทยาลัยบูรพา
Burapha University

ภาคผนวก

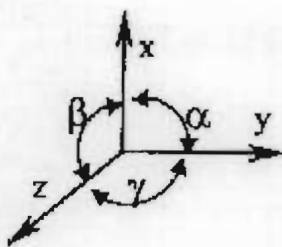
ภาคผนวก ก

การคำนวณหาค่าคงที่แลตทิซ (Lattice Constants) และขนาดผลึก (Crystallite Size)

การคำนวณหาค่าคงที่แล็ตทิซ (Lattice Constants)

โครงสร้างผลึก (Crystal Structure)

ในการศึกษาโครงสร้างผลึกที่เข้าใจง่ายขึ้นเราจะกำหนดแกนสมมุติและมุมขึ้นภายในรูปผลึกซึ่งมีอัตราความสอดคล้องกันตามเหลี่ยมนูนต่าง ๆ ในพิเศษทาง 3 มิติ (ภาพที่ ก-1 ประกอบ) โดยให้



a, b, c เป็นระยะห่างระหว่างอะตอม เรียกว่า สเปชแล็ตทิซ (Space lattice)
มีหน่วยเป็นแองสตอม (\AA) โดยที่ 1 Angstrom = 10^{-10} m .
x, y, z เป็นแกนสมมุติอ้างอิงโดยมีจุดกำเนิด O (Origin) อยู่ตรงตำแหน่ง
อะตอมหนึ่ง ๆ ของหน่วยเซลล์หนึ่ง เรียกว่า แล็ตทิซเวกเตอร์ (Lattice vector)
 α, β, γ เป็นมุมที่เกิดขึ้นภายในผลึกอยู่ระหว่างแกน x, y, z

ภาพที่ ก-1 แกนสมมุติและมุมขึ้นภายในรูปผลึก

สเปชแล็ตทิซ (Space Lattice) มีอยู่ทั้งหมด 230 แบบด้วยกัน แต่จะสรุปถึงหลักเพียง 14 แบบ ใหญ่ ๆ ด้วยกันและมีรูปแบบที่สอดคล้องกับ โครงสร้างระบบผลึก (Crystal structure) ได้ 7 ระบบ ด้วยกันคือ

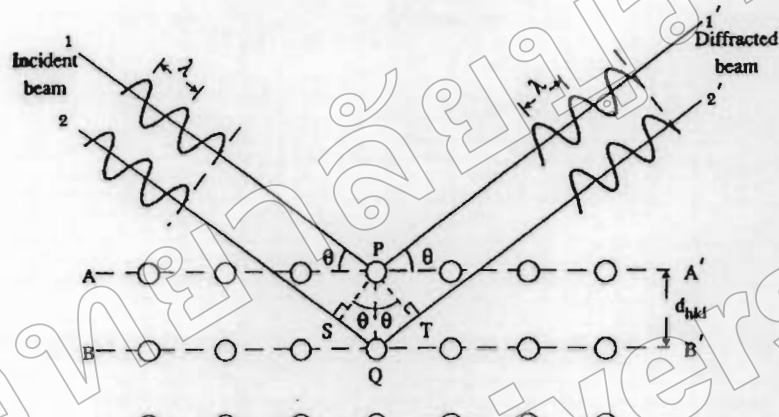
1. ไตรคлинิก (Triclinic) แกนหัก 3 แกนยาวไม่เท่ากัน แกนหัก 3 แกนทำมุมไม่เท่ากัน และไม่ตั้งฉากกัน
2. โมโนคлинิก (Monoclinic) แกนหัก 3 แกนยาวไม่เท่ากัน มีแกน 2 แกนที่จะทำมุมตั้งฉากกัน แต่แกนที่ 3 ไม่ตั้งฉาก
3. ออร์โทรอห์มบิก (Orthorhombic) หรือโอห์มบิก (Rhombic) แกนหัก 3 แกน ยาวไม่เท่ากัน แต่ทุกแกนจะทำมุมตั้งฉากกันและกัน
4. เตตራゴนอล (Tetragonal) มีแกน 2 แกนยาวเท่ากันแต่อีกแกนหนึ่งจะสั้น หรือ บางกว่า แกนหัก 3 แกน ทำมุมตั้งฉากกันและกัน
5. โอลันด์อธิครอล (Rhombohedral) แกนหัก 3 แกนยาวเท่ากัน แกนหัก 3 แกน ทำมุมเท่ากัน แต่หัก 3 มุม ไม่เป็น 90 องศา
6. เฮกซาgonอล (Hexagonal) มีแกน 3 แกนอยู่ในแนวระนาบ (Plane) ทำมุมภายในเท่ากัน 120 องศา ต่อกัน แกนที่ 4 ทำมุม 90 องศา กับแนวระนาบ (Plane) แกน 3 แกนแรกจะเท่ากัน แต่จะไม่เท่ากันแกนที่ 4
7. สีเหลืองจัตุรัส (Cubic) แกนหัก 3 แกนยาวเท่ากันและตั้งฉากซึ่งกันและกัน

ตารางที่ ก-1 โครงสร้างระบบผลึก

ระบบผลึก	ແລດທີ່				
ໄຕຣຄລິນິກ (triclinic)	$\alpha, \beta, \gamma \neq 90^\circ$ 				
ໄມໂນຄລິນິກ (monoclinic)	simple $\beta \geq 90^\circ$ $\alpha, \gamma = 90^\circ$ 	centered $\beta \geq 90^\circ$ $\alpha, \gamma = 90^\circ$ 			
	simple $a \neq b \neq c$ 	base-centered $a \neq b \neq c$ 	body-centered $a \neq b \neq c$ 	face-centered $a \neq b \neq c$ 	
ອອຮ່ຖອຮ່ອໜົມນິກ (orthorhombic)	$a \neq c$ 				
ເສກະະໂກນອດ (hexagonal)			ໄວໜົນອື້ອຣອດ (rhombohedral) (trigonal) $\alpha, \beta, \gamma \neq 90^\circ$ 		
ເຕຕະໂກນອດ (tetragonal)	simple $a \neq c$ 	body-centered $a \neq c$ 			
ຄົວນິກ (isometric)	simple 	body-centered 	face-centered 		

โดยปกติแล้ว ไทเทนียมเซอร์โคเนียม ในไตรค์บริสุทธิ์ มีโครงสร้างผลึกแบบคิวบิก ในงานวิจัยนี้พบว่า ฟิล์มนางไทเทนียมเซอร์โคเนียม ในไตรค์ที่เคลือบด้วยระบบรีแอคเติฟโคสป์เตอริง มีโครงสร้างผลึกแบบเฟช เช่นเดอร์ คิวบิก

กฎของแบบรอกก์ (Bragg's law)



ภาพที่ ก-2 แบบจำลองการเรียงตัวของอะตอม

$$2d_{hkl} \sin \theta = n\lambda \quad (\text{ก-1})$$

เมื่อ d_{hkl} เป็นระยะห่างระหว่างระนาบผลึก (hkl)

θ เป็นมุมตugal ระหว่างเส้นทางของคลื่นและเส้นทางที่หัก เมื่อวัดจากแนวระนาบ (ในหน่วย radians)

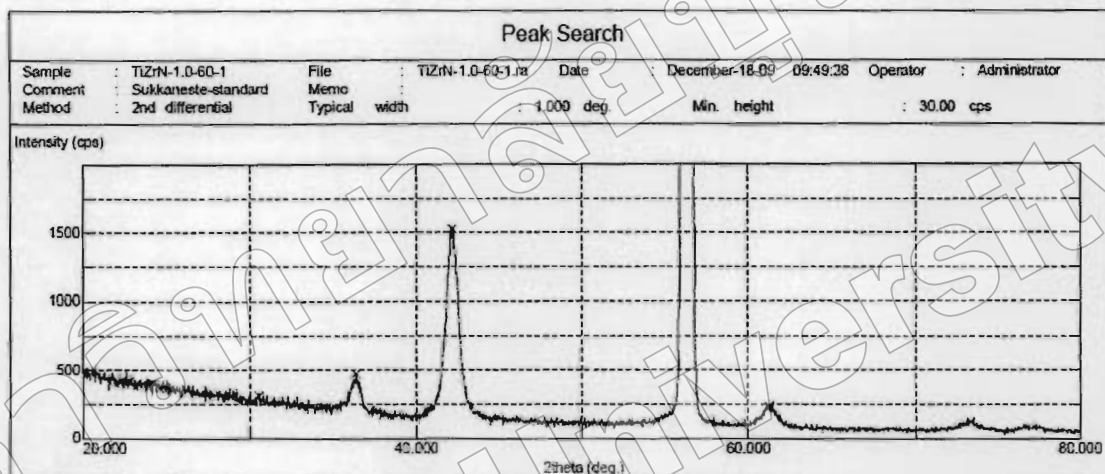
n ลำดับการสะท้อน

λ ความยาวคลื่น ($\lambda = 1.5406 \text{ \AA}$)

สูตรคำนวณระยะห่างระหว่างระนาบในระบบผลึกแบบคิวบิก

$$\text{cubic; } d_{hkl} = \frac{a}{\sqrt{h^2 + k^2 + l^2}} \quad (\text{n-2})$$

ตัวอย่าง ก-1 การคำนวณหาระยะห่างระหว่างระนาบผลึก (d -spacing) ที่รั้งนาบต่าง ๆ



ภาพที่ ก-3 รูปแบบการเลี้ยงเวนรังสีเอกซ์ของฟิล์มบางไทเทนเนียมเชอร์โคเนียมในไตรด์

ตารางที่ ก-1 รูปแบบการเลี้ยงเวนรังสีเอกซ์ของฟิล์มบางไทเทนเนียมเชอร์โคเนียมในไตรด์

No.	2 Theta	Intensity	$h \ k \ l$	d -spacing
1	36.380	473	111	2.4675
2	42.160	1527	200	2.1416
3	56.360	67065	100	1.6311
4	61.260	238	220	1.5119

1. หาระยะห่างระหว่างระนาบผลึกที่ระนาบต่าง ๆ

กำหนด $\lambda = 1.5406 \text{ \AA}$; มุม θ หน่วยเป็น เเรเดียน
แทนค่ามุม θ ในหน่วยเรเดียนในสมการที่ ก-1 จะได้ d -spacing ที่ระนาบต่าง ๆ ดังนี้

$$2d_{hkl} \sin \theta = n\lambda \quad (\text{ก-1})$$

ที่ระนาบ (200);

$$d_{hkl} = 2.1416$$

2. หาค่าคงที่ (Latice Constant)

cubic;

$$d_{hkl} = \frac{a}{\sqrt{h^2 + k^2 + l^2}} \quad (\text{ก-2})$$

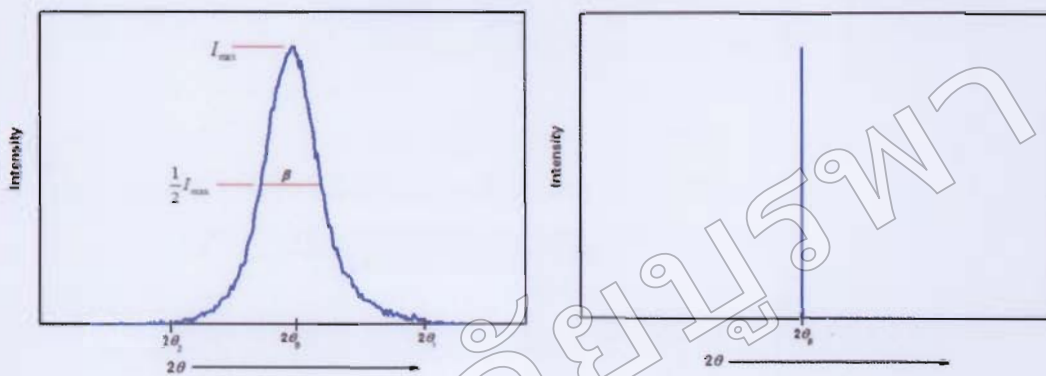
ที่ระนาบ (200);

$$2.1416 = \frac{a}{\sqrt{2^2 + 0^2 + 0^2}}$$

$$a = 2.1416(2)$$

$$a = 4.283$$

การคำนวณขนาดผลึก (Crystallite size)



ภาพที่ g-4 Effect of crystallite size on diffraction curves (schematic)(Cullity, 1978)

Scherrer Equation

$$L = \frac{k\lambda}{\beta \cos \theta_\beta} \quad (\text{ก-3})$$

เมื่อ

L คือ ขนาดของผลึกฟิล์มบางๆ ในเทเนียมหรือโคเนียม ในไตรด์ หน่วย นาโนเมตร (nm)

k คือ ค่าคงที่เท่ากับ 0.9

λ คือ ความยาวคลื่นของรังสีเอกซ์ ($\text{CuK}_\alpha = 1.5406 \text{ \AA}$)

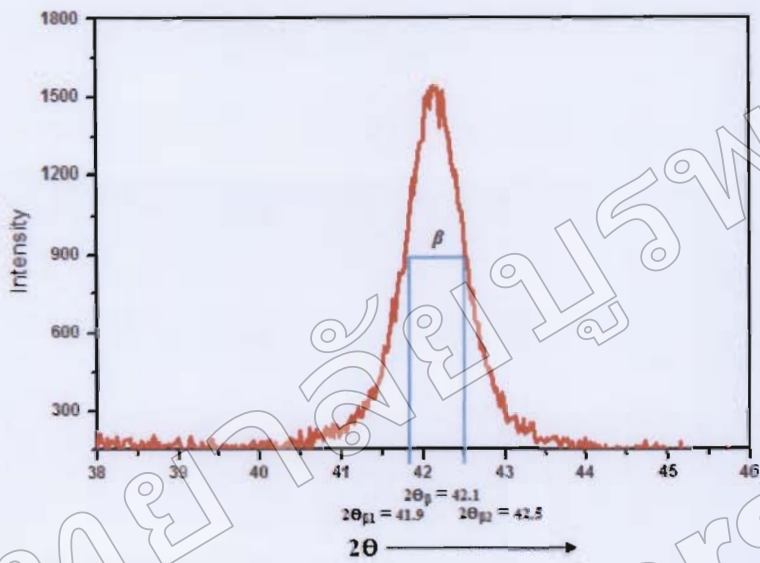
θ คือ ครึ่งหนึ่งของมุมตรงจุดศูนย์กลางพีค หน่วย เรเดียน

β คือ ความกว้างครึ่งหนึ่งของพีคที่มีค่าความเข้มสูงสุด

(Full Width at Half Maximum; FWHM) ซึ่งคำนวณได้จากสมการ ก-4

$$\beta = \frac{2\theta_{\beta_2} - 2\theta_{\beta_1}}{2} \quad (\text{ก-4})$$

ตัวอย่าง ก-2 การคำนวณขนาดผลึก



ภาพที่ ก-5 การหาความกว้างคริสตัลของพิคที่มีค่าความเข้มสูงสุด

วิธีคำนวณ หาค่า β จากสมการ ก-4

$$\beta = \frac{2\theta_{\beta 2} - 2\theta_{\beta 1}}{2}$$

$$\beta = \frac{42.5 - 41.9}{2} = 0.005 \text{ เรเดียน}$$

นำค่า β แทนในสมการ ก-3 จะได้

$$L = \frac{k\lambda}{\beta \cos \theta_\beta}; \cos \theta_\beta = 0.933 \text{ เรเดียน}$$

$$L = \frac{(0.9)(0.15406 \text{ nm})}{(0.005)(0.933)} = 24.71 \text{ nm}$$

ดังนั้น ผลึกมีขนาดเท่ากับ 24.71 nm

ภาควิชานวักฯ
ผลงานวิจัยที่ได้รับการตีพิมพ์เผยแพร่



การประชุมวิชาการระดับชาตินานาชาติวิจัยอิเล็กทรอนิกส์และวัสดุ ครั้งที่ 2
เรื่อง สาขาวิชาการงานวิจัยเพื่อพัฒนาคนและชุมชนอย่างยั่งยืน 10-11 สิงหาคม 2554



การเคลือบฟิล์มบางไนเทนเนียมเชอร์โคเนียมในไตรด์ด้วยวิธีรีแอคตีฟโคสปัตเตอริ่ง Deposition of Titanium Zirconium Nitride Thin Films by Reactive Co-Sputtering

หนึ่งกฤทัย แก้วไชย^{1,2} นิรันดร์ วิทิตอนันต์^{1,2} อุดิศร บูรณวงศ์^{1,2}

อรวรรถพล เซียรุคุเกจุ^{1,2} อรุสิงห์ ไชยคุณ^{1,2}

ห้องปฏิบัติการวิจัยพลาสม่าสำหรับวิทยาศาสตร์เพื่อพัฒนา ภาควิชาพิสิกส์ คณะวิทยาศาสตร์ มหาวิทยาลัยบูรพา

ศูนย์ความเป็นเลิศด้านพิสิกส์ สำนักพัฒนาบัณฑิตศึกษาและวิจัยด้านวิทยาศาสตร์และเทคโนโลยี (สบว.)

สำนักงานคณะกรรมการการอุดมศึกษา

E-mail: pss.buu.thep@gmail.com

บทคัดย่อ

ฟิล์มบางของสารประกอบสามชนิดไนเทนเนียมเชอร์โคเนียมในไตรด์ ($TiZrN$) เคลือบด้วยเทคนิครีแอคตีฟซีรัมกันตรอน โคสปัตเตอริ่ง (reactive DC magnetron co-sputtering) บนแผ่นวิสกอน เพื่อศึกษาผลของการแสวงเปลี่ยนไนเทนเนียม (ITi) ที่มีต่อการเกิดฟิล์ม โดยแบ่งการแสวงเปลี่ยนไนเทนเนียมในช่วง 0.6 A ถึง 1.0 A ที่เวลาในการเคลือบคงที่ อัตราการไฟล์แก๊สสารก่อนต่อในไตรเจนกำหนดให้คงที่เท่ากับ 8:6 sccm เพื่อให้เกิดการพร้อมตัวของฟิล์มไนเทนเนียมเชอร์โคเนียมในไตรด์ กระแสในการสปัตเตอริ่งมีผลต่อโครงสร้างฟลักก์ ลักษณะพื้นผิวและโครงสร้างอุลต้าซิค ศึกษาจากเทคนิค X-ray diffraction (XRD) และ Atomic Force Microscope (AFM) ผลการศึกษาพบว่าเงื่อนไขการเคลือบมีผลโดยตรงต่อโครงสร้างฟลักก์ ลักษณะพื้นผิวและโครงสร้าง ฉลุภายนอกของฟิล์ม โดยฟิล์มไนเทนเนียมเชอร์โคเนียมในไตรด์ที่ได้ทั้งหมดมีโครงสร้างฟลักก์ของไนเทนเนียมเชอร์โคเนียม ในไตรด์ ระยะ (111) (200) และ (220) โดยมีระยะ (200) เป็น preferred orientation ความเป็นผลลัพธ์ของฟิล์มเปลี่ยนตามกราฟแสดงของเปลี่ยนไนเทนเนียม (ITi) ผลการวิเคราะห์ด้วย AFM พบว่าความหยาบและการรวมกลุ่มเกรนของฟิล์มไม่เพียงแต่เพิ่มค่าความหยาบผิว (R_{rms}) จาก 2.7 nm เป็น 6.4 nm เท่านั้น แต่ยังเพิ่มความหนาเฉลี่ยของฟิล์มจาก 347.1 nm เป็น 575 nm อีกด้วย

คำสำคัญ: ฟิล์มบาง ไนเทนเนียมเชอร์โคเนียมในไตรด์ สปัตเตอริ่ง รีแอคตีฟโคสปัตเตอริ่ง



Abstract

The ternary nitride titanium zirconium nitride (TiZrN) thin films were deposited by reactive DC magnetron co-sputtering technique with different titanium sputtering current (ITi) ranging from 0.6 A to 1.0 A, using individual Ti and Zr co-sputtered targets at constant deposition time. The Ar to N₂ flow rate fixed at 8:6 sccm to form a TiZrN solid solution. The sputtering current effected on crystal structures, surface morphologies and microstructure was investigated by X-ray diffraction (XRD) and Atomic Force Microscope (AFM). It was found that the crystal structure, surface morphologies and microstructure of the films are strongly dependent on the deposition parameters. All the films are composed of TiZrN crystal structure (111), (200) and (220) planes with preferred orientation of (200) plane. The crystallinity of the films changed as a function of Ti sputtering currents (ITi.). The AFM measurement indicated that the coarse and congregate grain with not only enhanced roughness (R_{rms}) from 2.7 to 6.4 nm but also, continuous increases in average thickness from 347.1 nm to 575 nm through the ITi.

Keywords: Thin films, Titanium zirconium nitride, Sputtering, Reactive co-sputtering.

การประชุมวิชาการระดับชาติมหาวิทยาลัยราชภัฏพระนคร ครั้งที่ 2

ผู้อ่าน อย่างเป็นทางการเจ้าของห้องเรียนภาษาและอุปกรณ์ 10-11 สิงหาคม 2554



บทนำ

ชั้นเคลือบหรือพิล์มบางชนิดหนึ่งที่ได้รับการยอมรับมาอย่างต่อเนื่องว่าเป็นชั้นเคลือบหรือพิล์มบางที่เหมาะสมสำหรับใช้ในอุตสาหกรรมการเคลือบแข็งคือ พิล์มบางไก่เทเนียมในไตรค์ (TiN) เมื่อจากมีสมบัติที่ดีเยี่ยมหลายประการ เช่น มีค่าความแข็งที่สูงมาก สามารถทนความร้อนสูง มีเสถียรภาพทางเคมีสูง ทนการกัดกร่อนได้ดี อีกทั้งยังมีค่าความต้านทานทางไฟฟ้าต่ำรวมถึงมีสมบัติเชิงกลที่ดี (Niu et al., 2007; Ziebert et al., 2006; Liu et al., 2003; Su et al., 1993; Reiner et al., 1992) ทำให้พิล์มบางไก่เทเนียมในไตรค์ (TiN) ได้รับความนิยมนำมาประยุกต์ใช้ในเชิงพาณิชย์ สำหรับเครื่องมือตัดและเครื่องจักรกลในอุตสาหกรรม (Lin et al., 2010; Hogmark et al., 2000; Cunha et al., 1999)

อย่างไรก็พิล์มบางไก่เทเนียมในไตรค์ก็มีข้อจำกัดบางประการคือ ไม่สามารถต้านทานการเกิดออกซิเดชันที่อุณหภูมิสูงเกิน 500°C (Singh et al., 2005; Shum et al., 2004; Chung et al., 2004) ทำให้มีการศึกษาวิจัยและพัฒนาเพื่อหาแนวทางแก้ไขปัญหาดังกล่าวดังนี้ ทั้งนี้แนวทางหนึ่งที่สามารถลดหรือแก้ไขปัญหาดังกล่าวคือ การเพิ่มอะตอมเซอร์โคเนียม (Zr) เข้าไปในโครงสร้างของไก่เทเนียมในไตรค์ (TiN) เพื่อฟอร์มตัวเป็นชั้นของพิล์มบางไก่เทเนียมเซอร์โคเนียมในไตรค์ (Ti_xZr_yN) ซึ่งไม่เพียงแต่เพิ่มสมบัติต้านการต้านทานการกัดกร่อนเท่านั้นจากการเกิดชั้นของออกไซเด้นดีเวนชั้นของพิล์มเท่านั้น แต่ยังช่วยเพิ่มความแข็งให้แก่ชั้นพิล์มบางที่เคลือบได้อีกด้วย ที่มีนิยมเช่นนี้เนื่องจากไก่เทเนียมเซอร์โคเนียมในไตรค์เป็นสารละลายของแข็ง (solid solution) ที่มีความแข็งมากกว่าไก่เทเนียมในไตรค์นั้นเอง (Niu et al., 2008; Purushotham et al., 2003; Lugscheider et al., 1999) อย่างไรก็เป็นที่ทราบกันดีโดยทั่วไปในกลุ่มนักวิจัยด้านพิล์มบางว่าสมบัติด้านต่างๆ ของพิล์มบางที่เคลือบได้ส่วนมีความสัมพันธ์อย่างใกล้ชิดกับลักษณะเฉพาะของพิล์ม เช่น องค์ประกอบของธาตุ โครงสร้างของพิล์ม ซึ่งขึ้นกับเงื่อนไขในการเคลือบ ทำให้มีการวิจัยและพัฒนาเพื่อหาเงื่อนไขที่เหมาะสมสำหรับเคลือบพิล์มบางประเภทต่างๆ ที่มีองค์ประกอบธาตุและโครงสร้างตามที่ต้องการยังคงมีความจำเป็นที่ต้องดำเนินต่อไป

สำหรับการเคลือบพิล์มบางไก่เทเนียมเซอร์โคเนียมในไตรค์นั้นสามารถทำได้หลายวิธีที่แตกต่างกัน เช่น ดีซี รีแอคติฟ สปัตเตอริ่ง (DC reactive sputtering) หรือ อาร์เอฟ รีแอคติฟ สปัตเตอริ่ง (RF reactive sputtering) (Lin et al., 2010; Wang et al., 2000; Ramana et al., 2004) การเคลือบด้วยเทคนิคสปัตเตอริ่งร่วม (co-sputtering) (Ramana et al., 2004) ซึ่งส่วนใหญ่เคลือบพิล์มบางไก่เทเนียมเซอร์โคเนียมในไตรค์โดยการใช้กระแสไฟฟ้าในการเคลือบที่ค่อนข้างสูง (Niu et al., 2008; Uglov et al., 2006) หรือต้องใช้ความร้อนแก้วัสดุรองรับ (Lin et al., 2010; Ramana et al., 2004; Takeyama et al., 2003) หรืออาจต้องใช้ความต่างศักย์ไฟฟ้าและแก้วัสดุรองรับ (Lin et al., 2010; Wang et al., 2000) เพื่อให้พิล์มบางไก่เทเนียมเซอร์โคเนียมในไตรค์ที่เคลือบได้มีโครงสร้างระดับหนึ่งในทำให้การศึกษาเนื่องจากการเคลือบที่มีผลต่อโครงสร้างและสมบัติของพิล์มบางไก่เทเนียมเซอร์โคเนียมในไตรค์ซึ่งมีจำกัดโดยเฉพาะอย่างยิ่งในประเด็นการควบคุมสัมผัสส่วนของอะตอมของพิล์มบางที่เคลือบได้ อย่างไรก็ต้องใช้เทคนิคการเคลือบที่สามารถควบคุมสัมผัสส่วนของอะตอมของพิล์มได้อย่างละเอียดและไม่สูญเสียมากนักคือ การเคลือบด้วยเทคนิคโคลสปัตเตอริ่ง (co-sputtering) เนื่องจากการเคลือบที่มีใช้เป้าสารเคลือบ 2 ชุด ทำให้สามารถควบคุมอัตราการลับปัดเตอร์สารเคลือบของไก่เทเนียม (Ti) หรือ เซอร์โคเนียม (Zr) โดยการปรับค่ากระแสไฟฟ้าที่จ่ายให้แก่เป้าสารเคลือบที่ต้องการ นอกจากรากน้ำของการเคลือบด้วยเทคนิคสปัตเตอริ่งมีข้อดีคือสามารถเคลือบพิล์มบางได้ที่อุณหภูมิต่ำ



โดยไม่ต้องเพิ่มความร้อนให้กับวัสดุรองรับ ทั้งยังไม่ต้องเพิ่มความต่างศักย์ไฟแอลฟ์สตูรองรับ ทำให้เวลาในการเคลือบันอย่างและช่วยลดต้นทุนในการผลิตด้วย

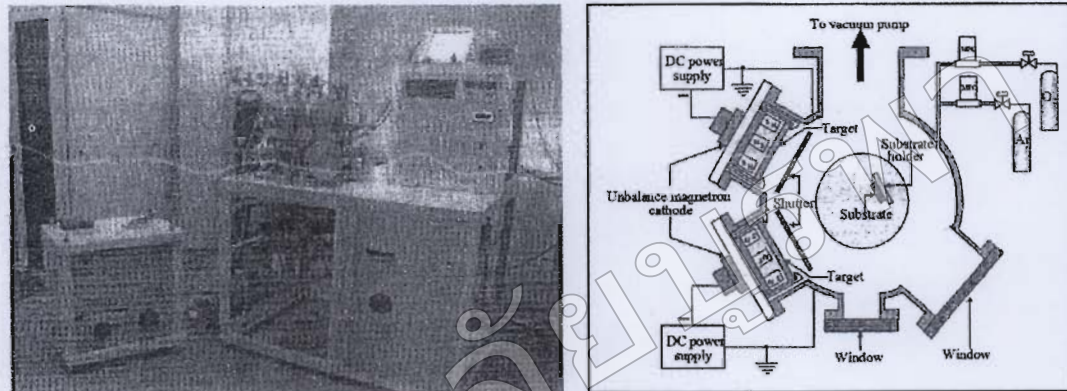
บทความวิจัยนี้เป็นการรายงานผลการเตรียมพิล์มนบางไทเทเนียมเชอร์โโคเมียมในไตรค์ทีมีโครงสร้างระดับนาโน โดยไม่ใช้ความร้อนแก้วัสดุรองรับด้วยวิธีรั่วแอคติฟโคลสปัตเตอร์링 เพื่อศึกษาศึกษาผลของการแปลไฟฟ้าในการสปัตเตอร์링 ของเป้าสารเคลือบไทเทเนียม (ITi) ที่มีต่อโครงสร้างผลึก ความหนาและลักษณะพื้นผิวที่ใช้เป็นข้อมูลพื้นฐานในการวิจัยต่อไป

อุปกรณ์และวิธีการวิจัย

พิล์มนบางไทเทเนียมเชอร์โโคเมียมในไตรค์ในงานวิจัยนี้เตรียมด้วยวิธีรั่วแอคติฟโคลสปัตเตอร์링 จากเครื่องเคลือบในสัญญาการระบบ ดิซิ อันบาลานซ์ แมกนิตอรอน สปัตเตอร์링 (รูปที่ 1) ห้องเคลือบเป็นทรงกระบอก มีขนาดเส้นผ่านศูนย์กลาง 310.0 mm สูง 370.0 mm ติดตั้งเป้าสารเคลือบ 2 ชนิด ได้แก่ ไทเทเนียม (99.97%) และ เชอร์โโคเมียม (99.97%) ขนาดเส้นผ่าศูนย์กลางเท่ากัน 75.0 mm ที่คาด พร้อมภาชนะไฟฟ้าแรงสูงกระแสตรง การเคลือบใช้แก๊สอาร์กอน (99.999%) เมนแก๊สปัตเตอร์ และใช้แก๊สลงไนโตรเจน (99.995%) เป็นแก๊สไวปฏิกิริยา สำหรับเครื่องสูบน้ำมันสูญญากาศของเครื่องเคลือบประกอบด้วยเครื่องสูบแบบไฟฟ้าไม่มีเครื่องสูบกลไครการเป็นเครื่องสูบห้ำย ในส่วนของการวัดความดันใช้มาร์คความดันของ Balzers รุ่น TPG300 โดยใช้หัวตัดแบบพิรานี รุ่น TPR010 และหัวตัดแบบเพนนิ่งรุ่น IKR050 แก๊สที่ใช้ในการเคลือบควบคุมการปล่อยเข้าห้องเคลือบด้วยเครื่องควบคุมอัตตราไฟลมวัลแก๊สของ Edwards ซึ่งประกอบด้วยชุดควบคุม รุ่น DATAMETRICS CONTROLLER 1605 และ ทวนติว์เชอร์รุ่น MASS FLOW Model 825 series B

สำหรับขั้นตอนการเคลือบพิล์มนบางไทเทเนียมเชอร์โโคเมียมในไตรค์เริ่มจากนำวัสดุรองรับซึ่งประกอบด้วยกระเจก สีเล็ต และ แผ่นซิลิกอน ที่ทั่วความสะอาดแล้วเข้าสู่ภาชนะสูญญากาศ โดยจัดให้ห่างจากหน้าเป้าสารเคลือบท่ากัน 13 cm ลดความดันในห้องเคลือบให้ความดันพื้นเท่ากัน 5.0×10^{-5} mbar จากนั้นปล่อยแก๊สอาร์กอนและแก๊สลงไนโตรเจน โดยการควบคุมของเครื่องควบคุมอัตตราไฟลมวัลแก๊สเข้าห้องเคลือบกำหนดให้อัตราไฟลมแก๊สอาร์กอนและแก๊สลงไนโตรเจน เท่ากัน 8 sccm และ 6 sccm ตามลำดับ งานวิจัยนี้กำหนดให้กระแสไฟฟ้าของเป้าสารเคลือบเชอร์โโคเมียม (ITi) คงที่ เท่ากัน 0.6 A ตลอดการทดลอง และปรับค่ากระแสไฟฟ้าของเป้าไทเทเนียม (ITi) เท่ากัน 0.6 A, 0.8 A และ 1.0 A โดยพิล์มนบางแต่ละชุดใช้เวลาเคลือบนาน 60 นาที ทั้งนี้ก่อนการเคลือบพิล์มนบางทุกครั้งจะทำความสะอาดหน้าเป้าสารเคลือบ โดยการสปัตเตอร์หน้าเป้าสารเคลือบ (pre-sputtering) ในบรรยากาศแก๊สอาร์กอน 5 นาที โดยปิดแผ่นบัง (shutter) ที่ติดตั้งระหว่างเป้าสารเคลือบกับแท่นวางวัสดุรองรับ จากนั้นจึงเคลือบพิล์มนบางไทเทเนียมเชอร์โโคเมียมในไตรค์ตามที่กำหนดไว้

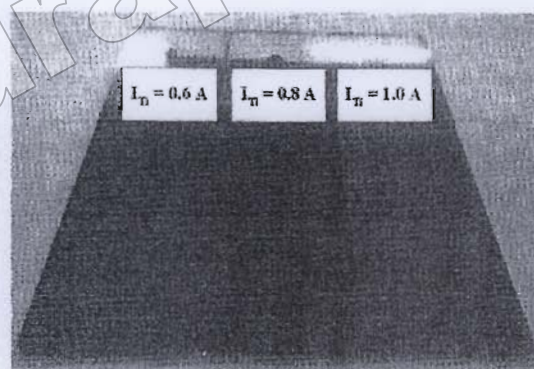
พิล์มนบางที่เคลือบได้ทั้งหมดจะนำไปศึกษาโครงสร้างผลึกด้วยเครื่องเลี้ยวเบนรังสีเอกซ์ (X-ray Diffractometer; XRD) ของ Rigaku รุ่น Rint 2000 โดยใช้ Cu-K α ($\lambda = 1.54056$) ที่ 40 kV และ 40 mA ตรวจวัดแบบ 2θ -scan ด้วยมุมตั้งกรอบเฉียง (Grazing incident angle) คงที่เท่ากัน 30 องศา 2θ จาก 200 ถึง 800 และศึกษาอย่างคุณภาพของพิล์มน้ำด้วยเทคนิค EDX ลูกท้ายศึกษาลักษณะพื้นผิว ความหนาและความหยาบผิว (R_{rms}) ของพิล์มนบางที่เคลือบได้ด้วยเครื่องอะตอมฟิฟิคฟอร์ซไมโครสโคป (Atomic Force Microscope; AFM) ของ Veeco Instruments Inc. รุ่น Nanoscope IV ตรวจวัดแบบ tapping mode บนผิวน้ำของพิล์มนบางในพื้นที่ขนาด 1×1 m²



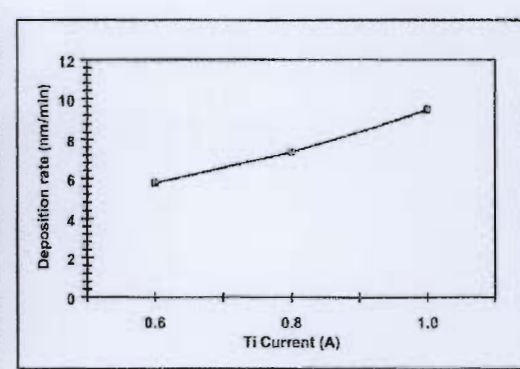
รูปที่ 1 ลักษณะและโครงสร้างของเครื่องเคลือบในสุญญากาศในงานวิจัย

ผลและอภิปรายผลการศึกษา

พิล์มบางไ泰เนียมเชอร์โคเนียมในไตรต์ที่เคลือบบนกระเจกได้ทั้งหมดทุกเงื่อนไขในงานวิจัยนี้ เมื่อสังเกตด้วยตาเปล่าพบว่าผิวน้ำพิล์มมีลักษณะเรียบเนียนละเอียด พิล์มมีลักษณะเดียวกันในรูปที่ 2 สำหรับอัตราเคลือบของพิล์มบางเชอร์โคเนียมในไตรต์เมื่อใช้กระแสไฟฟ้าของเป้าไ泰เนียม (ITi) ต่างๆ ซึ่ง หากค่าความหนาของพิล์มหารด้วยเวลาที่ใช้ในการเคลือบ ดังแสดงในรูปที่ 3 พบว่าเมื่อใช้กระแสไฟฟ้าของ เป้าไ泰เนียมต่ำเท่ากับ 0.6 A พบร้าอัตราเคลือบมีค่าประมาณ 5.8 nm/min และมีค่าเพิ่มขึ้นเท่ากับ 9.5 nm/min เมื่อกระแสไฟฟ้าของเป้าไ泰เนียมเพิ่มขึ้นเท่ากับ 1.0 A ที่เป็นเห็นนี้เนื่องจากเมื่อกระแสไฟฟ้าของเป้าไ泰เนียมเพิ่ม ขึ้นทำให้อัตราการสปัดตอร์เป้าไ泰เนียมอกรามรุนแรงขึ้นกับเชอร์โคเนียมและในโตรเจนในห้องเคลือบแล้วพร้อมตัวเป็น ไ泰เนียมเชอร์โคเนียมในไตรต์สูงขึ้น



รูปที่ 2 ลักษณะและลักษณะของพิล์มบางไ泰เนียมเชอร์โคเนียมในไตรต์ที่เคลือบบนกระเจกโดยที่ได้รับกระแสไฟฟ้าของเป้าไ泰เนียม



รูปที่ 3 อัตราเคลือบของพิล์มบางไ泰เนียมเชอร์โคเนียมในไตรต์ที่กระแสไฟฟ้าของเป้าไ泰เนียมต่างๆ

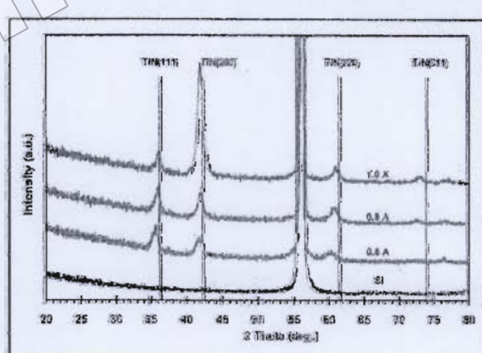


การประชุมวิชาการระดับชาติมหาวิทยาลัยอุบลราชธานี ครั้งที่ 2
เชิง สาขาวิชาการงานวิจัยเพื่อพัฒนาและอนุรักษ์อย่างยั่งยืน 10-11 สิงหาคม 2554

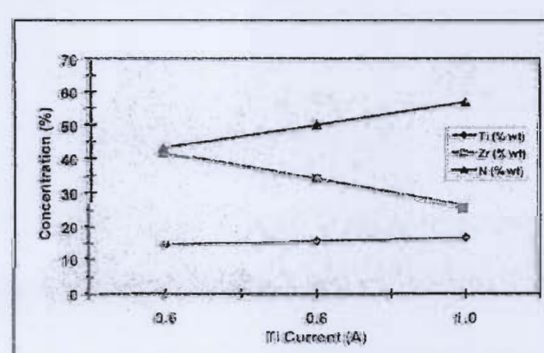
ผลการศึกษาโครงสร้างผลึกของฟิล์มบางไ泰เทเนียมเชอร์โคเมียมในไตรด์ที่เคลือบได้ทั้งหมดด้วยเทคนิค XRD ได้รูปแบบการเลี้ยวเบนรังสีเอกซ์ดังแสดงในรูปที่ 4 พบร้าฟิล์มที่เคลือบได้ทั้งหมดแสดงรูปแบบการเลี้ยวเบนรังสีเอกซ์เหมือนกันทุกเงื่อนไขการเคลือบ แตกต่างกันเพียงความเข้มของรูปแบบการเลี้ยวเบนรังสีเอกซ์เท่านั้น ทั้งนี้จากผลของ XRD พบรูปแบบการเลี้ยวเบนรังสีเอกซ์ของฟิล์มที่มุ่ง 36.460, 42.360, 61.920 และ 73.700 ซึ่งสอดคล้องกับฟิล์มบางไ泰เนียมเชอร์โคเมียมในไตรด์ระบบ (111), (200), (220) และ (311) ตามลำดับ โดยมีรูปแบบ (200) เป็น preferred orientation สำหรับรูปแบบการเลี้ยวเบนรังสีเอกซ์ที่มุ่ง 56.500 ยืนยันตำแหน่งพื้นที่ของชิลิกอนที่ได้เป็นวัสดุรองรับ จากผลการทดลองพบว่าโครงสร้างผลึกของฟิล์มบางไ泰เทเนียมเชอร์โคเมียมในไตรด์มีการผิดปกติหรือพัฒนาการในระหว่างการฟอร์มตัวของฟิล์ม ซึ่งล้มพังกับพลังงานของอะตอมสารเคลือบที่ตกเดือดลงบนผิววัสดุรองรับที่เพิ่มขึ้นตามกระแสไฟฟ้าของเป้าไ泰เทเนียมที่เพิ่มขึ้นทำให้อัตราสารเคลือบมีพลังงานมากพอในการฟอร์มตัวเป็นชั้นของฟิล์มบางไ泰ที่สุด

หากพิจารณารูปแบบการเลี้ยวเบนรังสีเอกซ์ของไ泰เทเนียมในไตรด์ซึ่งใช้เป็นตัวแทนอย่างอ้างอิง จากรายการฐาน JCPDS เลขที่ 381420 (รูปที่ 4) ซึ่งมีค่าคงที่แลดติชเท่ากับ 4.24 สำหรับปรับปรุงการเกิดฟิล์มบางไ泰เทเนียม เชอร์โคเมียมในไตรด์ที่เคลือบได้ในงานวิจัยพบว่าฟิล์มที่เคลือบได้มีค่าคงที่แลดติชในช่วง 4.27 – 4.30 สอดคล้องกับงานวิจัยของ Knottet et al. (1988) ซึ่งพบว่าค่าคงที่แลดติชของฟิล์มบางไ泰เทเนียมเชอร์โคเมียมในไตรด์ที่เคลือบได้มีขนาดใหญ่กว่าของฟิล์มไ泰เทเนียมในไตรด์ เนื่องจากเกิดการแทนที่ของอะตอมของเชอร์โคเมียมในโครงสร้างผลึกของไ泰เทเนียม ในไตรด์ที่ห้ามได้ค่าคงที่แลดติชของฟิล์มที่เคลือบได้ (4.27 – 4.30) มีค่ามากกว่าของไ泰เทเนียมในไตรด์ (4.24) ทำให้รูปแบบการเลี้ยวเบนรังสีเอกซ์ของฟิล์มที่ได้เสื่อมไปทางชั้นของจากค่าคงที่แลดติชมีขนาดเพิ่มขึ้น

เมื่อนำฟิล์มที่เคลือบได้มาวิเคราะห์องค์ประกอบธาตุด้วยเทคนิค EDX พบร้าฟิล์มทั้งหมดมีไทาเทเนียม (Ti) เชอร์โคเมียม (Zr) และ ไนโตรเจน (N) เป็นองค์ประกอบในสัดส่วนต่างๆ ซึ่งกับค่ากระแสไฟฟ้าของไ泰เทเนียมที่ใช้ในกระบวนการเคลือบ ดังแสดงในรูปที่ 5 โดยพบว่าเมื่อกระแสไฟฟ้าของเป้าไ泰เทเนียมเพิ่มขึ้นจาก 0.6 A เป็น 1.0 A องค์ประกอบธาตุของฟิล์มมีการเปลี่ยนแปลงดังนี้คือ ไتاเทเนียมและไนโตรเจนมีค่าเพิ่มขึ้นจาก 14.4% เป็น 16.6% และ 43.4% เป็น 56.8% ตามลำดับ ขณะที่เชอร์โคเมียมลดลงจาก 41.8% เป็น 21.3 % แสดงให้เห็นว่างานวิจัยนี้สามารถเคลือบทิ้งบางไ泰เทเนียมเชอร์โคเมียมในไตรด์ที่อุณหภูมิห้องโดยไม่ต้องให้ความร้อนเพิ่มได้สำเร็จ



รูปที่ 4 รูปแบบการเลี้ยวเบนรังสีเอกซ์ของฟิล์มไ泰เทเนียม เชอร์โคเมียมในไตรด์ที่เคลือบโดยใช้กระแสไฟฟ้าของเม็ดหกเหลี่ยมต่างๆ



ผลการประมวลผลของธาตุต่างๆ ของไتاเทเนียม เชอร์โคเมียมในไตรด์ที่เคลือบโดยใช้กระแสไฟฟ้าของเม็ดหกเหลี่ยมต่างๆ

การประชุมวิชาการระดับชาตินครศรีธรรมราชกับภูรังสรรค์ ครั้งที่ 2

เชื่อ สถาบันการงานวิจัยเพื่อพัฒนาคนและชุมชนอย่างยั่งยืน 10-11 สิงหาคม 2554



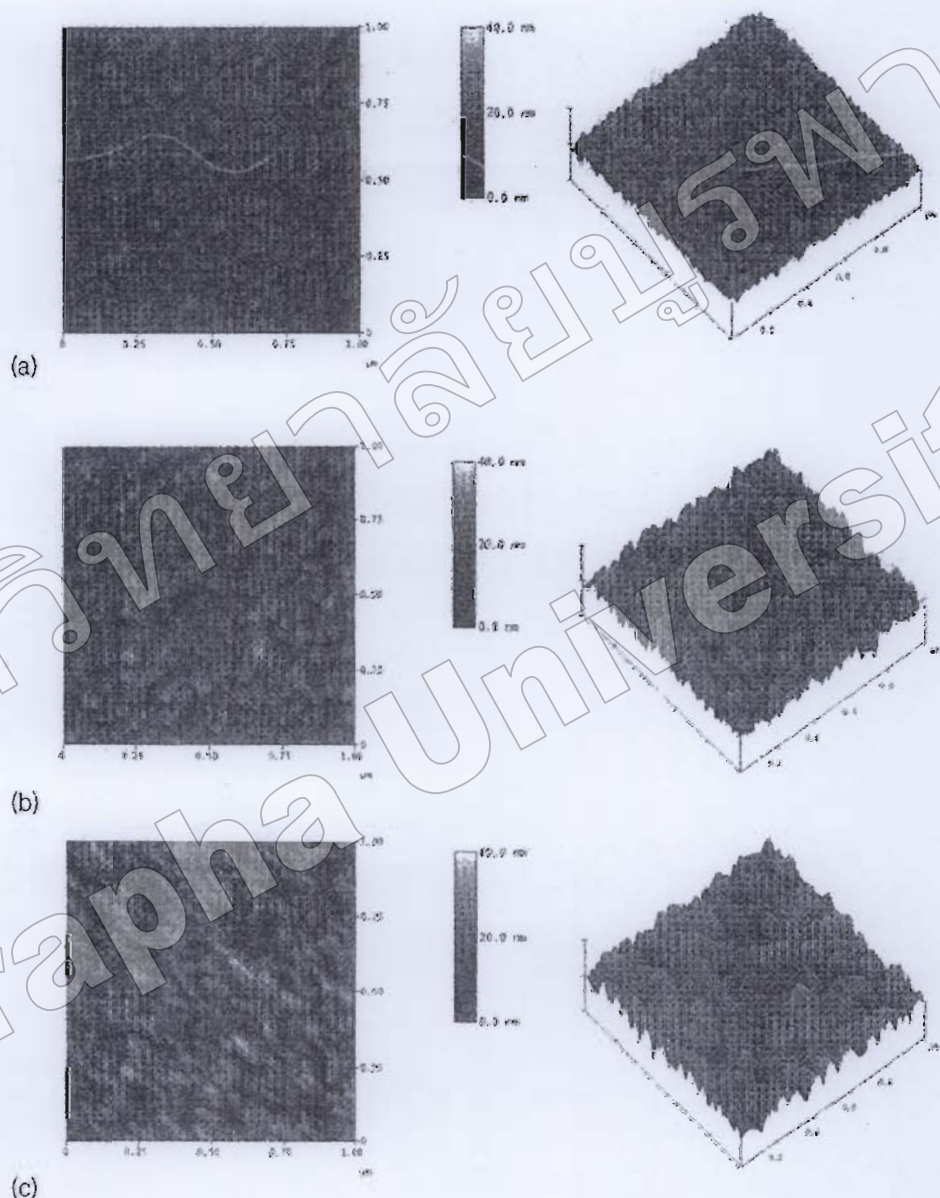
รูปที่ 6 แสดงสำหรับลักษณะพื้นผิวของฟิล์มบางไกเทเนียมเชอร์โคเนียมในตรด์ที่เคลือบได้จากการศึกษาด้วยเทคนิค AFM ในแบบ 2 มิติ และ 3 มิติ พบร่วมกับฟิล์มนางไกเทเนียมเชอร์โคเนียมในตรด์ที่เคลือบด้วยกระแสไฟฟ้าของ เป้าไกเทเนียมเท่ากับ 0.6 A เกรนของฟิล์มมีลักษณะเล็กแผลมน้ำเงินอยู่ใกล้เคียงกันกระจายทั่วผิวน้ำของฟิล์ม ส่วนฟิล์มที่เคลือบด้วยกระแสไฟฟ้าของเป้าไกเทเนียม เท่ากับ 0.8 A เกรนมีขนาดใหญ่ขึ้น และฟิล์มที่เคลือบด้วยกระแสไฟฟ้าของเป้าไกเทเนียมเท่ากับ 1.0 A เกรนมีขนาดใหญ่ที่สุดเป็นรูปสามเหลี่ยมกระจายทั่วผิวน้ำของฟิล์ม ทั้งนี้ฟิล์มที่เคลือบได้ทั้งหมด มีค่าความหยาบผิว (R_{ms}) ในช่วง 2.7 nm ถึง 6.4 nm และเมื่อกระแสไฟฟ้าของเป้าไกเทเนียมเพิ่มขึ้นความหยาบลื่นของฟิล์มเพิ่มขึ้นด้วย จาก 347 nm เป็น 567 nm ดังสรุปในตารางที่ 1

ตารางที่ 1 ความหยาบและความหยาบผิวของฟิล์มบางไกเทเนียมเชอร์โคเนียมในตรด์เมื่อเคลือบด้วยกระแสไฟฟ้าของ เป้าไกเทเนียมต่างๆ

กระแสไฟฟ้าของเป้าไกเทเนียม (I_f) (A)	ความหยาบ (nm)	ความหยาบผิว (R_{ms}) (nm)
0.6	347	2.7
0.8	440	4.9
1.0	567	6.4



การประชุมวิชาการระดับชาตินักวิทยาศาสตร์ราชภัฏพระนคร ครั้งที่ 2
เรื่อง สหวิทยาการงานวิจัยเพื่อพัฒนาคนและชุมชนอย่างยั่งยืน 10-11 สิงหาคม 2564



รูปที่ 6 ลักษณะผิวผ้าจากเทคนิค AFM ของพื้นผิวน้ำยาที่มีความหนาแน่นเป็นไปตามที่การเปลี่ยนปริมาณของฟ้าให้เพิ่มลดลงตาม

(a) 0.6 Å, (b) 0.8 Å, (c) 1.0 Å



สรุป

ผลมบ้างไทเทเนียมเชอร์โคเนียมในไตรด์ในงานวิจัยนี้ เตรียมด้วยวิธีรั่วแอคติฟโคลส์บัด เตือริงบนกระ杰กสไลด์และแผ่นซิลิกอน ฟิล์มที่เคลือบได้มีลักษณะเรียบเนียนสีดำสะท้อนแสงดี ผลจากวิเคราะห์พิล์มบางที่เคลือบได้ด้วยเทคนิค XRD พบว่ากระсталไฟฟ้าของเป้าไทเทเนียมมีผลต่อโครงสร้างผิวถูกและลักษณะพื้นผิวของฟิล์ม ไทเทเนียมเชอร์โคเนียมในไตรด์ที่เคลือบได้ ทั้งนี้เมื่อกระсталไฟฟ้าของเป้าไทเทเนียมมีค่าเพิ่มขึ้นพบว่าฟิล์มบางไทเทเนียม เชอร์โคเนียมในไตรด์ที่เคลือบได้ มีโครงสร้างผิวกรานบ (111) (200) และ (220) โดยมีรูปร่าง (200) เป็น preferred orientation และมีค่าคงที่แลดติชในช่วง 4.27 – 4.30 ทั้งนี้องค์ประกอบธาตุของฟิล์มด้วยเทคนิค EDX พบว่าฟิล์มที่เคลือบได้ทั้งหมดมีไททาเนียม (Ti) เชอร์โคเนียม (Zr) และ ไนโตรเจน (N) เป็นองค์ประกอบในลักษณะต่างๆ ขึ้นกับค่ากระсталไฟฟ้าของเป้าไทเทเนียมที่ใช้ในกระบวนการการเคลือบ ล้ำหรับความหมายผิวและความหนาจากเทคนิค AFM พบว่าเมื่อกระсталไฟฟ้าของเป้าไทเทเนียมเพิ่มขึ้นความหมายผิวและความหนาของฟิล์มมีค่าเพิ่มขึ้นจาก 2.7 nm เป็น 6.4 nm และ 347.1 nm เป็น 575 nm ตามลำดับ

เอกสารอ้างอิง

- Chung, K.H., Liu, G.T., Duh, J.G., & Wang, J.H. (2004). Biocompatibility of a titanium–aluminum nitride film coating on a dental alloy. *Surface & Coatings Technology*. 188-189: 745-749.
- Cunha, L., Andritschky, M., Rebouta, L. & Pischow K. (1999). Corrosion of CrN and TiAlN coatings in chloride-containing atmospheres. *Surface & Coatings Technology*. 116-119: 1152–1160.
- Hogmark, S., Jacobson, S. & Larsson, S. (2000). Design and evaluation of tribological coatings. *Wear*. 246: 20–33.
- Knotek, O., Böhmer, M., Leyendecker, T., & Jungblut, F. (1998). The structure and composition of TiZrN, TiAlZrN and TiAlVN coatings. *Materials Science and Engineering*. 105-106: 481-488.
- Lin, Y. W., Huang, J. H. & Yu, G. P. (2010). Effect of nitrogen flow rate on properties of nanostructured TiZrN thin films produced by radio frequency magnetron sputtering. *Thin Solid Films*. 518: 7308–7311.
- Liu, C.P. & Yang, H.G. (2003). Systematic study of the evolution of texture and electrical properties of ZrNx thin films by reactive DC magnetron sputtering. *Thin Solid Films*. 444: 111-119.
- Lugscheider, E., Knotek, O., Barimani, C., Leyendecker, T., Lemmer, O. & Wenke, R. (1999). PVD hard coated reamers in lubricant-free cutting. *Surface & Coatings Technology*. 112: 146-151.
- Niu, E.W., Li, L., Lv, G.H. Chen, H. Feng, W.R. & Yang, S.Z. (2007). Influence of substrate bias on the structure and properties of ZrN films deposited by cathodic vacuum arc. *Materials Science & Engineering, A*. 460-461: 135-139.
- Niu, E.W., Li, L., Lv, G.H. Chen, H. Feng, W.R. & Yang, S.Z. (2008). Characterization of Ti-Zr-N films deposited by cathodic vacuum arc with different substrate bias. *Applied Surface Science*. 254: 3909-3914.



- Purushotham, K.P., Ward , L.P., Narelle Brack, Pigram, P.J., Peter, E., Hans, N. & Manory, R.R. (2003). Tribological studies of Zr-implanted PVD TiN coatings deposited on stainless steel substrates. *Wear.* 254: 589-596.
- Ramana, J.V., Kumar, S., David, C. & Saju, V.S. (2004). Structure, composition and microhardness of (Ti,Zr)N and (Ti,Al)N coatings prepared by DC magnetron sputtering. *Materials Letters.* 58: 2553-2558.
- Reiner, H., Hantche, H., Jehn, H.A., Kopacz, U. & Rack, A. (1992). Decorative properties and chemical composition of hard coatings. *Surface & Coatings Technology.* 54-55: 273-278.
- Shum, P.W., Tam, W.C., Li, K.Y., Zhou, Z.F. & Shen, Y.G. (2004). Mechanical and tribological properties of titanium-aluminium-nitride films deposited by reactive close-field unbalance magnetron sputtering. *Wear.* 257: 1030-1040.
- Singh, K., Limaye, P.K., Soni, N.L., Grover, A.K., Agrawal, R.G. & Suri, A.K. (2005). Wear studies of (Ti-Al)N coatings deposited by reactive magnetron sputtering. *Wear.* 258: 1813-1824.
- Su, Y.L., Lin, J.S., Shiau, L.I. & Wu, J.D. (1993). A tribological investigation of physical vapour deposition TiN coatings paired with surface treated steels for machine element applications. *Wear.* 167: 73-83.
- Takeyama, M.B., Itoi, T., Aoyagi, E. & Noya, A. (2003). Diffusion barrier properties of nanocrystalline TiZrN films in Cu/Si contact systems. *Applied Surface Science.* 216: 181-186.
- Uglov, V.V., Anishchik, V. M., Zlotski, S.V. & Abadias, G. (2006). The phase composition and stress development in ternary Ti-Zr-N coatings grown by vacuum arc with combining of plasma flow. *Surface & Coatings Technology.* 200: 6389-6394.
- Wang, D.Y., Chang, C. L., Hsu, C.H. & Lin, H.N. (2000). Synthesis of (Ti,Zr)N hard coatings by unbalanced magnetron sputtering. *Surface & Coatings Technology.* 130: 64-68.
- Ziebert, C. & Ulrich, S. (2006). Hard multilayer coatings containing TiN and/or ZrN: A review and recent progress in their nanoscale characterization. *Journal of Vacuum Science & Technology, A.* 24: 554-583.



សំណង់ពិភាក្សាបានក្នុងគម្រោង

ส่องว่างานนี้อาจต้องมีความตื่นเต้นมากกว่า

ຖានិយមនៃក្រសួងពេទ្យ និងក្រសួងពេទ្យ គិតទូរបានត្រូវការចាប់ផ្តើមប្រចាំឆ្នាំ ដើម្បីស្វែងរកការងារ

କୁଣ୍ଡଳ ପାତାରେ ମୁହଁରା ଦେଖିଲୁ ଏହାରେ କିମ୍ବା କିମ୍ବା

“**କାହିଁଏବେ କାହିଁଏବେ**”
କାହିଁଏବେ କାହିଁଏବେ

ในการประชุมวิชาการระดับชาติพิธีกรไทยลัทธิภูมิประเพณี ครั้งที่ ๙
สหพันธ์การจราจรวิจัยเพื่อการพัฒนาความและคุณชนิดอย่างยั่งยืน^{๒๕}
ในระหว่างวันที่ ๐๙ – ๑๐ กันยายน พุทธศักราช ๒๕๖๒
มหาวิทยาลัยราชภัฏบ้านสมเด็จเจ้าพระยา

marks

(ຮອງអាណាពាទារាយ ៩ ន. ហើរទូ ក្រុងរដ្ឋបាល) និងការបំពេញវិធានរបស់រាជរដ្ឋបាល